

КРАТКИЕ СООБЩЕНИЯ

УДК 546.719:548.3:547.86

КРИСТАЛЛИЧЕСКАЯ СТРУКТУРА ОКТАЭДРИЧЕСКОГО КЛАСТЕРНОГО КОМПЛЕКСА
транс-[{Re₆S₈} (pyz)₄I₂] · 2pyz

М. А. Шестопалов, А. А. Иванов, А. И. Смоленцев, Ю. В. Миронов

Институт неорганической химии им. А. В. Николаева СО РАН, Новосибирск
E-mail: shtopy@niic.nsc.ru

Статья поступила 14 декабря 2012 г.

Кластерный комплекс состава *транс*-[{Re₆S₈} (pyz)₄I₂] · 2pyz (pyz — пиразин) получен при взаимодействии Cs₄[{Re₆S₈} I₆] с расплавом пиразина. Соединение кристаллизуется в триклиновой пространственной группе *P* с параметрами элементарной ячейки: *a* = 9,0562(7), *b* = 10,2502(7), *c* = 12,6783(9) Å, α = 98,537(3), β = 107,573(2), γ = 106,943(3)°, *V* = 1036,6(1) Å³, *Z* = 1, *d*_{выч} = 3,377 г/см³. Кристаллическая структура построена из кластерных комплексов *транс*-[{Re₆S₈} (pyz)₄I₂] и некоординированных молекул пиразина.

Ключевые слова: рений, октаэдрические халькогенидные кластеры, пиразин, кристаллическая структура.

Октаэдрические кластерные комплексы рения с общей формулой [{Re₆Q₈}L₆] (Q = S, Se; L — неорганические или органические лиганды) являются объектами интенсивных исследований. Интерес к соединениям подобного рода обуславливается их молекулярной структурой, окислительно-восстановительными, магнитными и люминесцентными свойствами. Наибольший интерес к себе привлекают комплексы с различными органическими лигандами. Широкое разнообразие органических нуклеофилов приводит к большим возможностям варьирования свойств получаемых кластерных комплексов [1—3].

Синтез *транс*-[{Re₆S₈} (pyz)₄I₂] · 2pyz. 50 мг (0,02 ммоль) Cs₄[{Re₆S₈} I₆] и 50 мг (0,62 ммоль) пиразина нагревали до температуры 150 °C в стеклянной запаянной ампуле и выдерживали при заданной температуре 48 ч. После реакции ампулу остужали до комнатной температуры со скоростью 15 град./ч. Полученный продукт отмывали горячей водой от избытка органического лиганда, образовавшегося в результате реакции CsI и не вступившего в реакцию кластерного комплекса. Выход: 37 мг (94 %). Найдено, %: C, 13,28, H, 1,09, N, 7,82, S, 12,3. Вычислено, %: C, 13,67, H, 1,15, N, 7,97, S, 12,17. По данным EDS соотношение элементов в образце составляет Re:S:I = 6:8,2:2,1. Монокристаллы, пригодные для рентгеноструктурного анализа, отбирали из плава.

Рентгеноструктурный анализ. Строение соединения *транс*-[{Re₆S₈} (pyz)₄I₂] · 2pyz установлено методом рентгеноструктурного анализа по стандартной методике на автоматическом четырехкружном дифрактометре Bruker-Nonius X8 APEX, оснащенном двухкоординатным CCD детектором при температуре 298 K с использованием излучения MoK_α (λ = 0,71073 Å) и графитового монохроматора.

Кристаллографические данные для C₂₄H₂₄I₂N₁₂Re₆S₈: *M_r* = 2108,03, триклинная сингония, пространственная группа *P*, *Z* = 1, *a* = 9,0562(7), *b* = 10,2502(7), *c* = 12,6783(9) Å, α = 98,537(3), β = 107,573(2), γ = 106,943(3)°, *V* = 1036,6(1) Å³, *d*_{выч} = 3,377 г/см³, μ = 19,375 мм⁻¹. Размеры кристалла: 0,20 × 0,15 × 0,04 мм. Цвет кристалла: оранжевый. Всего измерено 10825 отражений

Структура кластерного комплекса *транс*-[$\{\text{Re}_6\text{S}_8\}(\text{pyz})_4\text{I}_2$] (тепловые эллипсоиды даны с 50%-ой вероятностью)

в области съемки θ от $2,15$ до $30,05^\circ$ ($-12 \leq h \leq 11$, $-12 \leq k \leq 14$, $-12 \leq l \leq 17$), из которых 6053 независимых и 4691 наблюдаемый ($I \geq 2\sigma(I)$), $R(\text{int}) = 0,0357$. Число уточняемых параметров — 235 . Окончательные значения R -факторов составили: $R_1 = 0,0333$, $wR_2 = 0,0703$ для 4691 наблюдаемого рефлекса и $R_1 = 0,0516$, $wR_2 = 0,0754$ для всех 6053 независимых рефлексов. Значение S -фактора по F^2 составило $0,963$; $\Delta\rho_{\max} = 2,173$, $\Delta\rho_{\min} = -2,366 \text{ e}/\text{\AA}^3$.

Поглощение учтено эмпирически исходя из интенсивностей эквивалентных рефлексов с помощью программы SADABS [4]. Структура решена прямым методом и уточнена полноматричным МНК в анизотропном для всех неводородных атомов приближении по комплексу программ SHELLXTL [4]. Атомы водорода молекул пиразина локализованы геометрически и уточнены в изотропном приближении жесткого тела.

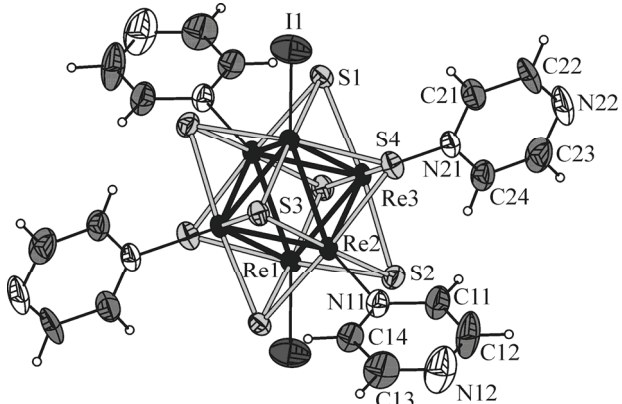
Кристаллографические данные для *транс*-[$\{\text{Re}_6\text{S}_8\}(\text{pyz})_4\text{I}_2$]·2pyz депонированы в Кембриджском банке структурных данных (CCDC 914759) и могут быть получены по адресу: <http://www.ccdc.cam.ac.uk/conts/retrieving.html>, а также у авторов.

Обсуждение результатов. Кластерный комплекс состава *транс*-[$\{\text{Re}_6\text{S}_8\}(\text{pyz})_4\text{I}_2$]·2pyz получен при взаимодействии $\text{Cs}_4\text{Re}_6\text{S}_8\text{I}_6$ с расплавом пиразина при температуре 150°C в стеклянной запаянной ампуле в течение двух суток. Полученный таким образом новый кластерный комплекс не растворим в воде и различных органических растворителях. Строение полученного в настоящей работе комплекса было установлено методом РСА. Монокристалл, пригодный для РСА, был отобран непосредственно из застывшего расплава.

Согласно данным РСА, в результате реакции произошло замещение четырех терминальных атомов I на молекулы пиразина с образованием *транс*-изомера нейтрального кластерного комплекса *транс*-[$\{\text{Re}_6\text{S}_8\}(\text{pyz})_4\text{I}_2$] (см. рисунок). Структура соединения образована центросимметричными кластерными комплексами (находящимися в частных позициях $(1/2, 1/2, 1/2)$) и двумя типами кристаллографически независимых центросимметричных молекул пиразина (в частных позициях $(0, 0, 0)$ и $(1/2, 1/2, 0)$). В кластерном комплексе межатомные расстояния лежат в интервале (\AA): $\text{Re}-\text{Re} 2,5812(4)-2,5941(4)$; $\text{Re}-\text{S} 2,396(2)-2,419(2)$; $\text{Re}-\text{I} 2,7486(6)$ и $\text{Re}-\text{N} 2,201(5)-2,207(5)$. В структуре присутствуют $\pi-\pi$ -стекинг-взаимодействия ($3,7 \text{ \AA}$ между центрами колец) между пиразиновыми кольцами соседних кластерных комплексов. Все расстояния хорошо согласуются с аналогичными для ранее полученных комплексов *транс*-[$\{\text{Re}_6\text{S}_8\}(\text{pyz})_2\text{Cl}_4$]²⁻ [5] и *гран*-[$\{\text{Re}_6\text{S}_7\text{Br}\}(\text{pyz})_3\text{Br}_3$] [6].

В литературе существует несколько примеров *транс*-изомерных нейтральных молекулярных кластерных комплексов рения, полученных как расплавным, так и растворным методами. Так, например, кластерные комплексы *транс*-[$\{\text{Re}_6\text{Q}_8\}(\text{PnPh}_3)_4\text{Br}_2$] ($\text{Q} = \text{S}, \text{Se}; \text{Pn} = \text{P}, \text{As}, \text{Sb}$) были синтезированы из соответствующих халькогенидных кластеров с расплавами трифенилфосфина [7], -арсина и -стибина [8]. Стоит отметить, что в результате таких реакций происходит образование только нейтральных *транс*-изомеров.

При использовании растворных методов обычно происходит образование смеси различных изомерных форм кластерных комплексов с различным соотношением лигандов, которые в дальнейшем разделяют хроматографически. Примерами таких комплексов являются *транс*-[$\{\text{Re}_6\text{S}_8\}(\text{PEt}_3)_4\text{Br}_2$] [9], *транс*-[$\{\text{Re}_6\text{Se}_8\}(\text{PEt}_3)_4\text{I}_2$] [10] и *транс*-[$\{\text{Re}_6\text{Se}_8\}(\eta^1\text{-L})_4\text{I}_2$] ($\text{L} = \text{dpm}, \text{dppeO}, \text{dpppO}, \text{dppbO}, \text{dpprenO}$) [11], полученные взаимодействием $(\text{Bu}_4\text{N})_3[\{\text{Re}_6\text{S}_8\}\text{Br}_6]$ или $(\text{Bu}_4\text{N})_3[\{\text{Re}_6\text{Se}_8\}\text{I}_6]$ с избытком нуклеофилла L в ДМФА. С другой стороны, существует несколько примеров растворных синтезов, в которых происходит образование лишь одной изо-



мерной формы. Так, при взаимодействии водных растворов $K_4[\{Re_6Q_8\}(OH)_6] \cdot 8H_2O$ ($Q = S, Se$) с 4-трем-бутилпиридином (ТВР) при температуре 100 °C образуются лишь *транс*- $[\{Re_6Q_8\}(TBP)_4(OH)_2]$ [12]. Отметим, что для гексагидроксокомплексов такой пример образования лишь *транс*-изомера не является единственным. При кипячении водного раствора $K_4[\{Re_6Se_8\}(OH)_6] \cdot 8H_2O$ с избытком KCN в течение 2 ч также происходит образование *транс*-изомерной формы кластерного комплекса с четырьмя CN-лигандами, а именно *транс*- $[\{Re_6Se_8\}(CN)_4(OH)_2]^{4-}$ [13]. Также в литературе описаны комплексы состава *транс*- $[\{Re_6S_8\}(L)_4(CN)_2]$ (L — пиридин и 4-метилпиридин), полученные взаимодействием полимерного Cs_4 -*транс*- $[\{Re_6S_8\}(CN)_4S_{2/2}]$ с L при температуре 150 °C [14].

Работа выполнена при финансовой поддержке Российского фонда фундаментальных исследований (гранты № 11-03-00157-а и 12-03-00477-а).

СПИСОК ЛИТЕРАТУРЫ

1. Yoshimura T., Umakoshi K., Sasaki Y. et al. // Inorg. Chem. – 1999. – **38**, N 24. – P. 5557 – 5564.
2. Gabriel J.-C.P., Boubekeur K., Uriel S. et al. // Chem. Rev. – 2001. – **101**, N 7. – P. 2037 – 2066.
3. Yoshimura T., Suo C., Tsuge K. et al. // Inorg. Chem. – 2010. – **49**, N 2. – P. 531 – 540.
4. Bruker AXS Inc. (2004). APEX2 (Version 1.08), SAINT (Version 7.03), SADABS (Version 2.11), SHELXTL (Version 6.12). Madison, Wisconsin, USA.
5. Yoshimura T., Umakoshi K., Sasaki Y. et al. // Inorg. Chem. – 2000. – **39**, N 8. – P. 1765 – 1772.
6. Shestopalov M.A., Cordier S., Hernandez O. et al. // Inorg. Chem. – 2009. – **48**, N 4. – P. 1482 – 1489.
7. Shestopalов M.A., Миронов Y.V., Брылев К.А. et al. // J. Amer. Chem. Soc. – 2007. – **129**, N 12. – P. 3714 – 3721.
8. Шестопалов М.А., Миронов Ю.В., Брылев К.А. и др. // Изв. Акад. наук, Сер. хим. – 2008. – **57**, № 8. – С. 1614 – 1619.
9. Willer M.W., Long J.R., McLauchlan C.C. et al. // Inorg. Chem. – 1998. – **37**, N 2. – P. 328 – 333.
10. Zheng Z., Long J.R., Holm R.H. // J. Amer. Chem. Soc. – 1997. – **119**, N 9. – P. 2163 – 2171.
11. Chen Z.-N., Yoshimura T., Abe M. et al. // Chem. Eur. J. – 2001. – **7**, N 20. – P. 4447 – 4455.
12. Dorson F., Molard Y., Cordier S. et al. // Dalton Trans. – 2009. – N 8. – P. 1297 – 1299.
13. Mironov Y.V., Brylev K.A., Kim S.-J. et al. // Inorg. Chim. Acta. – 2011. – **370**, N 1. – P. 363 – 368.
14. Леднева А.Ю., Наумов Н.Г., Вироевец А.В. и др. // Журн. структур. химии. – 2012. – **53**, № 1. – С. 137 – 141.